

横山ダム貯水池における濁度物質の流動形態について

名古屋大学 正員 中村 俊六
名古屋大学 正員 長立 昭平

貯水池に流入した濁度物質の流下経路はかなり複雑であるが、大別すればおよそ3つの経路に分類される。すなはち、(i)密度流となり、貯水池上部を前進して放流口下に達するもの、(ii)池内流動層の全断面に拡散しながら、ほぼ断面平均流速で流下するもの、および(iii)堆砂段丘上に沈殿・堆積したり、池内死水域に残留したりして、U字型貯留池子もの、である。各経路における濁度を、それらをC_I, C_{II}およびC_{III}であらわしておけば、放流濁度C_{out}は平均的滞留時間Tを時間的基準として次式のようにあらわされよう。(T = (貯水池の長さ)/(平均流速) = (流動層容量)/(流量))

$$0 < t \text{ (実時間)} < T : C_{out} = f_1(C_I) + f_2'(C_{II}), \quad T < t < kT : C_{out} = f_1'(C_I) + f_2(C_{II})$$

$$kT < t : C_{out} = f_1''(C_I) + f_2'(C_{II}) + f_3(C_{III}) \quad (k: 定常流速, 脳面面積の実験によれば k \approx 2)$$

上記の関係は模型実験^{(1), (2)}からの類推であるが、現実の貯水池においては、各項の大きさが池内の水温成層状態により大きく左右されるものと思われる。

本報告は、揖斐川横山ダムにおける観測資料を、以上の觀点から検討考察することとする。

[1] 池内水温分布の周年変化 昭和50年3月～10月にかけて、ダム前面約100mの位置にあり、約1週間毎に水温鉛直分布が測定されたが、その結果を1ヶ月レットで示すと図-1のようである。図中1ヶ月レットの上部には流入流量、下部には放流水量が併記してある。また1ヶ月レット下部の矢印は測定された日を、1ヶ月レット中のアッカ部分は後述の計算より算出した死水領域を示すものである。最下部はゲートの使用状況を示し放流用オーバーフィスゲートの使用中および取水ゲートが下段取水のとき、それらが黒くぬりつぶしがある。各ゲートの使用方法による取水口(または放流口)の位置関係を図-2に示す。

流入流量の季節的变化は、二の大きく3つの出水に分けられることがある。これぞこれをその季節的性格から、零排水出水(4月～5月)、梅雨期未出水(7月上旬)、および台風6号出水(8月末)と呼ぶことにすると、各出水と池内水温分布の変化はつきのように対応づけられる。すなはち、池内の水温分布

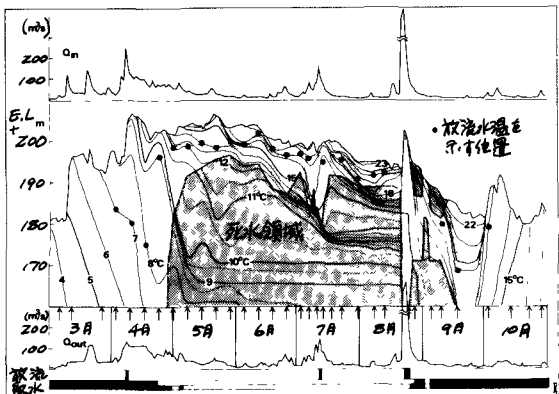


図-1 流入流量、水温分布、放流水量の周年変化

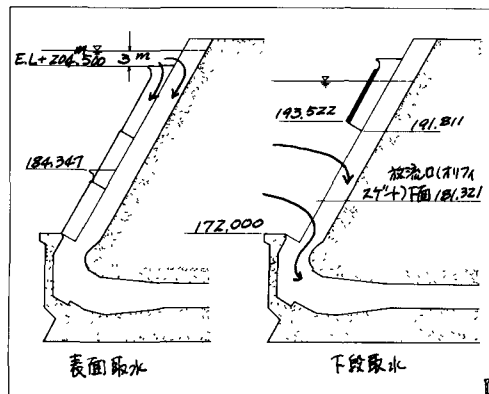


図-2 取、放水口位置図

第6号出水後は典型的な成層状態に入り、梅雨期末出水により2次躍層が生じて顕著に立ち現れ、台風6号出水により成層状態が破壊され循環期に移行していく。

[2] 濁水の流動形態 図-3は、成層期末に小規模出水(最大流入量108%)—11月18日)が流入した時の池内水温分布および濁度分布の測定結果である。濁水が密度流的に池底に流入(CI)するようすと、比較的大きな放流(日平均50.6%)により、その翌日にはCIが一部流動層内に混入してCIとなり、一部は池底に沈殿するようすをうかがうことができる。図-4は、前述の梅雨期末出水中における測定結果の一部である。顕著な2次躍層上に比較的高濃度が分布しており、出水中の流動層は2次躍層上に限られていたことを示しているが、この時点では放流による流れは水面近くに限定されたようになつた。図-5は、同じく台風6号出水後の測定結果の一部であるが、下段取水によって水面近くに死水域が生じ、濁度物質の一時的残留(CIV)が見られる。

以上は一例にすぎないが、これらのように現実の貯水池では、CI, CIIがともにCIVが、池内水温分布と水理的条件により、種々の形態をとることがわかる。

[3] 流動層厚の推定 流動層厚を安藤・白砂⁽³⁾にしたがって式により計算してみよう。

$$\delta = G^{1/3} \left(\frac{Q_0}{\theta \tau g \varepsilon} \right)^{1/3}, \quad \varepsilon = \frac{\rho_0 - \rho_g}{\rho_0 \gamma} \quad \text{ただし } \tau = 1, \quad \delta: \text{流動層厚}, \quad G: \text{日野太田}^{(4)} \text{の無次元数}, \\ Q_0: \text{放流水量}, \quad \theta: \text{流出口開口角}, \quad \varepsilon: \text{密度勾配}, \quad \rho_0: \text{流出点の密度}, \quad \rho_g: \text{流出点より半径} r \text{離れた点の密度}, \quad \gamma: \text{重力加速度}$$

表層取水期では $\rho_0 = \rho_g$, $\gamma = 9.81 \text{ m/s}^2$ を用い、下段取水期には流動層最下部標高をEL+171mとして、水温・濁度の実測値分布資料から試行錯誤により δ を求めるようにして、由此を計算すると、図-1(死水域をアシガタ表示した)および図-4, 5の各図が太破線のようになる。若干の問題はあるが、図-4, 5のようの場合のCIIおよびCIVの区分には十分自信をもつて得ると思われる。一方で、今後はCIは、下段取水期は底層取水の範囲を除いて、表層取水期とともに $G = 0.324$ を用いた。

[4] 結語と謝辞 以上、横山ダム貯水池における測定資料に基づき、濁度物質の流動形態をCI, CIIおよびCIVに区分してみたことを試みた。从此先此の定量的把握に基づいて今後の課題とするが、比較的有効と思われる(1)式の応用によるCIVの把握を中心として、今後更に研究を進めなければならない。

末尾ながら資料を提供して下さった建設省横山ダム管理所に深く感謝を表す。

また、一部文部省科学研究所の補助を受けてることを記し感謝する次第である。

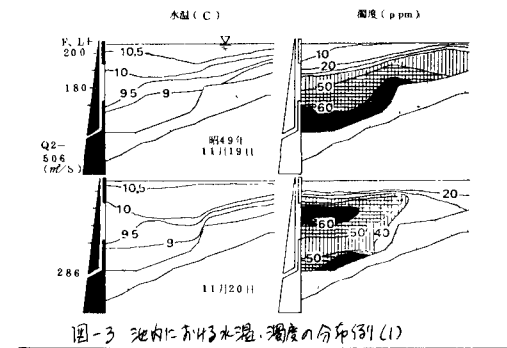


図-3 池内における水温・濁度の分布例(1)

[参考文献](1), (2)著者ら, 年譜昭49, 中部電力B850 (3)安藤・白砂, 貯水池

流動形態のモデル化, 電力技術ノ6/134 (4)日野 太田, 土木機械技術, NO.163

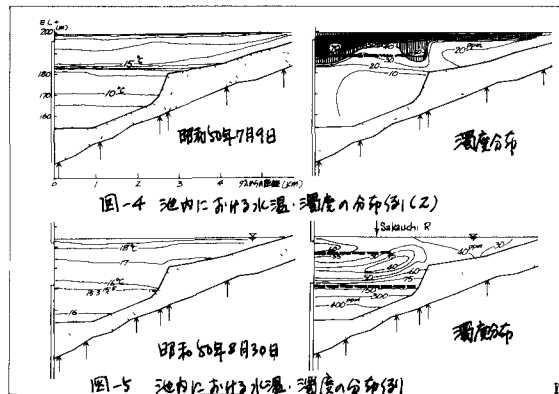


図-4, 5 池内における水温・濁度の分布例